

# Eko Kurniawan - 5541512005

by Eko Kurniawan - 5541512005 Eko Kurniawan - 5541512005

---

Submission date: 26-Feb-2020 01:46PM (UTC+0700)  
Submission ID: 1264440751  
File name: Eko\_Kurniawan\_-\_5541512005.docx (1.06M)  
Word count: 4229  
Character count: 25034

% dan ketepatan sebesar 0.0048, kesalahan rata-rata 1.07 % dan dapat memungkinkan indikasi sehat dan tidak sehat.

Kata Kunci : suhu tubuh, kapasitas vital paru, Arduino Uno R3, Arduino IDE, ECSC Equation

## 1.0 Pendahuluan

Penyakit Restrikif paru diambil oleh keterbatasan ekspansi paru-paru, ciri khas dari kondisi ini adalah penurunan kapasitas paru total (TLC) di bawah persentil ketiga dari nilai yang diperolehi. Berkaitannya kapasitas vital paru (FVC) (dengan rasio Normal atau tinggi) adalah tanda karakteristik [1]. Pneumonia dan Tuberokolisis adalah contoh penyakit restrikif paru di mana salah satu faktornya adalah suhu tubuh dan penurunan FVC <80% [2] [3].

Dalam beberapa tahun terakhir, teknologi nirkabel telah berkembang pesat dan telah memberikan sejumlah manfaat bagi pemantauan kesehatan di area kota api. Karena itu, berbagai negara menggunakan teknologi nirkabel terbaru, bersama dengan layanan berbasis cloud yang mencakup dan perangkat portabel pintar yang digunakan untuk membangun sistem tersebut. Pemantauan waktu nyawa memungkinkan penerapan sistem untuk melihat kecepatan detak yang tinggi. Secara umum, teknik pemantauan kondisi modern dibagi menjadi beberapa area berbeda, berdasarkan pada persyaratan dan pertimbangan yang berbeda. [4]

Pengujian Fungsi Paru (PFT) merupakan komponen penting dari penilaian klinik dalam investigasi penyakit pernafasan. Ini dapat dicapai dengan berbagai langkah, termasuk tes olahraga, pengukuran volume paru dan tes pernapasan dinamis. Ukuran tradisional fungsi paru-paru, seperti spironetri dan seluruh tabah yang mengukur volume paru-paru dan pertukaran oksigen memberikan kejadian pasien dan kontak langsung dengan penilaian. Ada langkah-langkah lain dari fisiologi paru-paru yang bahkan lebih invasi, seperti pengambilan sampel gas darah atau direktori arterial sampling) dan latihan pengajuan karidopulmoner (breaddell atau sepeda olahraga). Relatif di antara metode-metode ini, spironetri adalah yang paling umum untuk menilai fungsi paru-paru karena portabilitas, harga, dan akurasi untuk

diagnosis medis. Untuk melaksanakan tes spironetri, pasien diminta untuk bernapas melalui corong sementara klip hidung ditempatkan untuk mencegah kebocoran udara. Dua protokol klinis utama yang dilakukan dengan spironetri adalah kapasitas vital paru (FVC) dan kapasitas vital lambat (SVC). Yang pertama terdiri dari inspirasi maksimum ditutup oleh ekspirasi maksimum yang dipaksakan, dan yang kedua adalah inspirasi maksimum ditutup oleh ekspirasi maksimum yang lambat, terkontrol, maksimal. Berbagai langkah PFT biasa, seperti FVC, FEV1, PEF, PEF 25-75% (Ukuran FVC) dan VC, IC televisi dan ERV (Ukuran SVC) ditulang dalam spironetri pengujian. Ukuran PFT ini, dan kombinasinya, digunakan dalam diagnosis dan penilaian penyakit paru-paru obstruktif, misalkan. Penyakit paru obstruktif kronik (PPOK) dan Astma, dan membatasi penyakit paru-paru, seperti fibrosis paru-paru. Meskipun spironetri adalah metode klinik yang akurat dan dapat diandalkan, ada beberapa kelemahan yang membatasi penerapannya. Spironetri adalah alat yang sangat membutuhkan untuk dilakukan pada populasi klinik tertentu, seperti pasien usia lanjut yang lemah, anak-anak, dan penderita gangguan kognitif. Ibu membutuhkan kalibrasi ulang setidaknya setiap beberapa hari dan corong mulut dan klip hidung harus diperlakukan untuk setiap pasien. [5]

## 2.0 TINJAUAN PUSTAKA

### 2.1 Latar Belakang

Suhu tubuh dapat mempengaruhi total ventilasi paru-paru (TLV), TLV menggerakkan paru-paru memiliki penekan paru, sangat penting untuk memiliki pemantauan dan kontrol suhu tubuh ini yang akurasi dan bersifat jauh-jauh. Studi ini menyajikan desain sensor suhu paru-paru virtual untuk mengontrol suhu ini. Hasil ini juga menunjukkan bahwa TLV secara tepat dapat mengontrol suhu tubuh ini dan dapat lebih baik dibandingkan dengan sistem eksternal corporal dalam hal keakuratan. [6]

Spironetri sebagai melaksanakan tes spironetri membuat diagnosis Obstruktif Kronik (POK) udara terbatas, menghasilkan kapasitas spironetri amananya kesetiaan atau kanker spironetri cukup dengan perlakuan-lahas malah spironetri saat ini belum dikenal mekanisme pengetahuan atau tekniknya konsisten untuk memantau pengetahuan diterima. Penelitian dilakukan android, sistem informasi bisa disintegrasi dengan yang terbatas dari sensasi menghitung tekanan Arduino nruu untuk mempertahankan uji spironetri.

### 2.2 Spironetri

Spironetri secara "pengukuran napas selesai" yang merupakan yang paling sering digunakan dengan hasil paru-paru mengakurasi fungsi paru-paru volume dan aliran diberikan atau diukur. Data yang diperlukan disebut parameter dan digunakan untuk mendekati kondisi tertentu seperti bronkitis, astma, obstruktif kronik (POK).

Tidak adanya pengujian yang menggunakan spironetri volume udara yang diambil oleh pengambilan udara pada paru-paru spironetri dapat menunjukkan pola peredaran udara mengindikasikan kelas restrikif dan obstruktif merupakan metode penting yang digunakan pneumotachograph, menilai beberapa kondisi seperti fibrosis paru, cystic fibrosis

### 2.3 Metode Prediksi ECSC

Metode spironetri ECSC pengukuran kesetiaan dikembangkan oleh Euro-Steel and Community

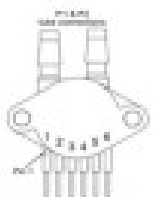
Suhu LM35 adalah komponen elektronik yang memiliki fungsi untuk mengubah suhu menjadi besaran listrik dalam bentuk tegangan.



Gambar 3 Sensor Suhu LM 35

#### 2.6 Sensor Tekanan

Tekanan MPX5100DP adalah strain gauge piezoresistif tipe silikon yang terintegrasi dalam sebuah chip, bekerja pada tegangan 0 kPa hingga 100 kPa (0 psi hingga 14.5 psi) atau 15 kPa (2.18 psi) hingga 115 kPa (2.18 psi hingga 16.68 psi) dengan tegangan output dari 0.2 volt hingga 100 kPa (0 psi hingga 14.5 psi) atau 15 kPa hingga 115 kPa (2.18 psi hingga 16.68 psi). Sensor tekanan MPX5100DP dapat dilihat pada gambar 3



Gambar 3 Sensor Tekanan MPX5100DP

#### 2.7 Mikrokontroler Arduino Uno R3

Arduino Uno R3 adalah papan pengembangan mikrokontroler berbasis pada chip ATmega328. Disebut sebagai papan pengembangan karena papan ini berfungsi sebagai arena prototipe untuk sistem mikrokontroler. Dengan menggunakan papan pengembangan, programmer akan lebih mudah untuk membuat rangkaian mikrokontroler elektronik daripada mulai merakit ATmega328 dari awal di papan templat memotong roti. Arduino Uno memiliki 14 pin input/output digital (atau I/O yang bisa ditulis), 6 di antaranya dapat digunakan sebagai output PWM), 6 pin input analog menggunakan kristal 16 MHz, konektor USB, colokan肆trik, header ICSP dan tombol Atar alang



Gambar 4 Mikrokontroler Arduino Uno R3

#### 2.8 LCD 16x2

LCD (Liquid Cristal Display) adalah salah satu komponen elektronik yang berfungsi sebagai tampilan data, baik karakter, baris atau grafik. Di pasaran, layar LCD (gambar 5) tersedia dalam model seperti layar LCD dan sirkuit pendukungnya termasuk ROM dan programnya. LCD memiliki pin data, kontrol cara daya, dan kontrol komunikasi.



Gambar 5 LCD 16x2

#### 2.9 Modul Bluetooth HC-05

HC-05 adalah modul Bluetooth kelas 2 Bluetooth berbasis Bluetooth STR310 yang memiliki jangkauan sinyal hingga 10m. Modul ini berfungsi sebagai transceiver (perangkat yang memulai komunikasi) dan akseptor (perangkat yang menerima komunikasi). Cara daya modul adalah 3.3 - 5 VDC. AT Command digunakan sebagai protokol komunikasi dengan host (mikrokontroler / PC) dan sebagai penyedia instruksi pengaturan modul Bluetooth. Modul ini dapat diterapkan dalam sistem transmisi data nirkabel.



Gambar 6 Modul Bluetooth HC-05

## 2.10 Literatur Terkait

Dalam diagnosis respirometri, mengakur laju pernapasan yang akurat untuk diajukan. Perbedaan laju (seperti burji ruangi), dan laju pernapasan dalam diagnosis patolog dan penyebabannya, pemantauan tingkat berkolajuan dan gas metabolisme akan selalu makalah ini, sistem yang memantau tingkat pernapasan, serta tubuh yang sebagian besar dalam diagnosis penyakit pada ini dicirikan oleh kerja yang disebut kritis penyakit paru (PPOK). Pemantauan pernapasan atas (URIT).

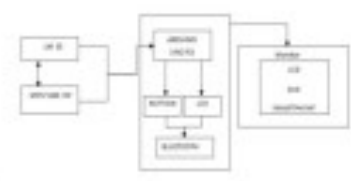
Saat ini, masih ada informasi spesimetri untuk pernapasan vadah menjelaskan pelajaran dalam kerangka pengobatan akan memiliki diagnosis menggunakan hanya pada rupa yang acuan infeksi dipuncak, misalnya antituberkulosa. Terdiri dari rupa diklaim dari Institut Fisiologi dan Kedokteran Cibang Siberia di Kadokteran Rusia (M) dengan adi pulmonasi hasil dari pelajaran, instrumen dibuat, pengujian awal misalnya Pengukuran tekanan sampel yang dikembangkan (14).

Pintu-pintu adalah pernapasan yang vital sehat, itu bisa menyeimbangkan paru-paru digunakan diukur menggunakan yang dilakukan di piezoelektrik adalah dibutuhkan rangkaian paru dan filter mikrokontroler untuk selama respiration. Dikemas ke dalam peralatan dibuat menjadi sistem

Tabel 1 Tabel rinci

Responden	Suhu thermometer centigrade (°C)
1	36.18
2	34.86
3	36.40
4	36.20
5	36.30
6	36.50
7	36.30

### 3.2 Pengumpulan data



Gambar 7 Perancangan Hardware

Untuk wanita yang menggunakan rumus  $FVC = 0.0443H - 0.0260A - 2.890$  [16]  
Deskripsi H = Tinggi, A = Usia

Pengambilan data suhu tubuh dan organ vital paru-paru dilakukan pada responden pria dan wanita berada 19-25 tahun. Data yang diambil dalam pengolahan ini adalah bahwa suhu tubuh dilakukan dengan menempel pada ketak dan kapasitas vital paru-paru (FVC) yang sangat terinspirasi dan cepat selesai mengambil napas maksimal. Untuk setiap responden secara bergiliran menggunakan termometer digital merek omron dengan sensor suhu LM 35 DZ dan spironetri contec SP-10BT dengan perangkat kapasitas vital paru-paru dengan sifirat minimum 30 detik untuk setiap pengukuran, akan lebih baik jika sifirat diberikan lebih dari 30 detik.

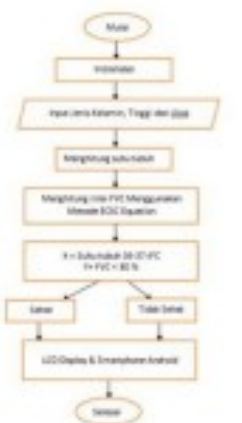
### 4.0 Hasil & Diskusi



Gambar 9 Metode pengembangan prototipe spironetri Prediksi Persamaan ECSC pada sistem monitoring suhu tubuh dan paru-paru

Dalam pengujian suhu tubuh, pengujian dilakukan dengan membandingkan suhu tubuh menggunakan sensor LM 35 DZ dengan suhu termometer omron model MC-343F. Pengujian dilakukan setiap kali percobaan dilakukan kepada responden.

Gambar 8 Flowchart Sistem



sistem akan bekerja ketika sensor LM 35 DZ untuk mengukur suhu tubuh dan sensor MPX5100DP untuk mengukur kapasitas vital paru-paru. Kesiadian data akan diperoleh dari pembacaan sensor akan diproses oleh Arduino uno R3 dan akan ditampilkan pada layar LCD dan smartphone untuk menentukan status seseorang sehat dan tidak sehat. Untuk menentukan prediksi nilai FVC, rumus nilai prediksi FVC digunakan menggunakan metode Persamaan ECSC:  
Untuk pria yang menggunakan rumus FVC  $\approx 0.0576H - 0.0260A - 4.340$  [16]

Pengambilan data kesehatan pada responden. Dalam menguji pengambilan data suhu tubuh dilakukan dengan menghubungkan responden yang dilakukan pengolahan sebaiknya dilakukan untuk rata-rata responden secara bergiliran menggunakan spironetri contec SP-10BT dengan kapasitas vital paru-paru pengujian, responden berupa sistem menggunakan hidrostatik sebanyak sebanyak menggunakan Pengukuran dilakukan dengan menghubungkan responden dengan sistem menggunakan hidrostatik dengan memberikan pengukuran tekanan atau tekanan pada tekanan pengukuran dilakukan responden dengan alat pengukur kapasitas vital paru-paru hasil pengukuran nilai

Data Re	Schmidt FNC (0)	$(x_i - \bar{x})$	$(y_i - \bar{y})$
1	0	-	-0.036
		0.06	
2	0.01	-0.05	0.025
3	0	-0.06	0.036
4	0.01	-0.05	0.025
5	0.01	-0.05	0.025
6	0.02	-0.04	0.016
7	0.06	0	0
8	0.06	0	0
9	0.01	-0.05	0.025
10	0.03	-0.03	0.01
11	0.03	-0.03	0.01
12	0.06	0	0
13	0.11	0.08	0.025
14	0.05	0.01	0.00
15	0.03	-0.03	0.01
16	0.08	0.02	0.00
17	0.08	0	0.00
18	0.05	0.01	0.00
19	0.3	0.24	0.06
20	0.11	0.08	0.025
21	0.11	0.08	0.025
$\Sigma$	1.2	0.68	0.096

#### **Posterior ECG segments**

$$(\bar{x}) = \frac{\sum x_i}{\sum n} = \frac{12}{21} = 0.06 \%$$

### Standard Deviation

$$\text{[STDEV]} = \sqrt{\frac{\sum (x_i - \bar{x})^2}{n-1}} = \frac{0.098}{\sqrt{10}} = 0.048$$

Berdasarkan data dari hasil pengujian pada tabel terdapat perbedaan terbesar pada nilai 0,3 liter sedangkan perbedaan terkecil 0 dan perbedaan rata-rata 1,07% berdasarkan perbedaan rata-rata dapat diketahui nilai akurasi alat tersebut yaitu sebesar 98,91 % dan nilai presisi ± 0,0048

Mammal Rev. Edn. 2000, 26, 171

Indeks Sabu tubuh normal orang sehat antara  $36^{\circ}\text{C}$  -  $37^{\circ}\text{C}$ .

Tabel 4. Hasil Indikasi Nilai kesetaraan soal

Data	Pengukuran Suhu Tubuh			
	Termometer cemerlang MC- 5401 (°C)	Indikasi Suhu tubuh	Termometer LM 35 DZ (°C)	Indikasi Suhu tubuh
1	36,10	Suhu	36,19	Suhu
2	34,80	Tidak Suhu	34,93	Tidak Suhu
3	36,40	Suhu	36,52	Suhu
4	36,20	Suhu	36,27	Suhu
5	36,30	Suhu	36,38	Suhu
6	36,50	Suhu	36,64	Suhu
7	36,80	Suhu	36,89	Suhu

**Tabel 5** Hasil Indikasi Nilai kesabtuan PVG  
Pem

Data	Pengetahuan PVC Putih			
	Siswa Cewe Sek-SMP (Lurer)	Inklusi Putih	Aksi Ular Kepada Vital Putih	Inklusi Putih
1	2,76	80,19% (Sekar)	2,76	80,29% (Sekar)
2	2,38	76,26% (Tidak sehat)	2,39	76,26% (Tidak sehat)
3	4,20	93,4% (Sekar)	4,24	93,4% (Sekar)
4	4,88	90,2% (Sekar)	4,84	90,2% (Sekar)
5	6,17	121% (Sekar)	6,07	120,74% (Sekar)
6	5,98	109,1% (Sekar)	5,91	112,74% (Sekar)
7	3,37	80,2% (Sekar)	3,36	80,2% (Sekar)

Sedangkan Menurut Jurnal Kemalasari dkk [15], nilai FVC dapat mengindikasikan kondisi sehat atau tidak sehat seorang anak, apabila nilai FVC lebih dari 80 % maka paru-paru dalam keadaan sehat, sedangkan apabila

nilai FWC bising dan  
sensasi yang diketahui

29 Kesiintymä

Sistem yang disediakan merupakan manajemen dan PVC. Para sumberdaya memerlukan hanya sistem ini dapat memberikan profesional untuk tujuan dan PVC pada sistem ini memiliki mendekati perbaikan. Selanjutnya, Mengoptimalkan setiap parameter untuk restriktil (permasalahan dapat diatasi. Menggunakan dalam pengujian P, Keadilan dan NHAI dapat dibandingkan persamaan ECSC yang penilaian lebih lanjut dikembangkan dengan sensor network lain Zhebor.

## Dollar Posts

- [1] K. Suzanne., W. **RESULTS** in Obesity Springer International part of Springer Nature.
  - [2] Afifi W., N. L. I. Sayakarthy., 2018, an Online Platform System. International Conference on Robotics, Automation (ICORAS), Melaka.
  - [3] Shamsi R., **Knowing Decision Support Tuberculosis Disease Conference on Machine Learning and Processing.**
  - [4] Morris B. F. C., 2016, Enabling Condition Monitoring: Monitoring, Logging, and Reporting Conference on Monitoring (RCM).
  - [5] Soliman V., M. Doss J., Han Complain M., V. Depth-Based Assessment, 1-15.
  - [6] Nadeem M., M. Asif, O., Tiss Vandamme, J., 2014, Core Body by Total Liquid.

berdasarkan data dari hasil pengujian pada tabel terdapat perbedaan terbesar pada nilai 0,3 liter sedangkan perbedaan terkecil 0 dan perbedaan rata-rata 1,07% berdasarkan perbedaan rata-rata dapat diketahui nilai akurasi alat tersebut yaitu sebesar 98,91 % dan nilai presisi ± 0,0048

Sedangkan Menurut Jurnal Kewalasari dkk [15], nilai FVC dapat mengindikasikan kondisi sehat atau tidak sehat sesorang, apabila nilai FVC lebih dari 80 % maka paru-paru dalam keadaan sehat, sedangkan apabila

- [17] Forago P., Grossi R., Ignot C., Giugia M., Hinska S. 2018. A Fuzzy Expert System for Infection Screening Based on Vital Signs and Activity Data. IEEE Internal Competition CICDI.
- [18] Srivastava P., Kundu P., Islam S., Shahzad Celia, Parash S. A. 2018. A Low-cost Venturi Tube Sprometer for the Diagnosis of COPD. Proceedings of Tacom 2018 – 2018 IEEE Region 10 Conference, Jeju, Korea 723-728.
- [19] Joseph S., Vilaswari S., Divya V.J., Bista R.S. 2018. Lung Volume Measurement : A Review Article. Asian Journal of Research in Biological and Pharmaceutical Sciences. 3(10), 2015, 11-31.
- [20] Zarbaydi F., Saghaferro A., Aloud F., H. Mir H. 2017. Mokospire : Mobile Based Spirometry for Detecting COPD. IEEE, 7<sup>th</sup> Annual Computing and Communication Workshop and Conference (CCWC).
- [21] Rao M.V.A., Kaushalika M.L.K., Majeed S., Gope D., Krishnamoorthy, U. M. 2017. Automatic prediction of spirometry readings from cough and wheeze for monitoring of asthma severity. 25<sup>th</sup> European Signal Processing Conference (EUSIPCO).
- [22] Kwas A. M., Fong A. G., Peter A. Jensen, Schivo M., Kenyon N.J., Delplanque J.P., Davis C.E. Personal Lung Function Monitoring Devices for Asthma Patients. IEEE Sensors Journal, 2015.
- [23] Kwasem A., Hamad M., C El Meccary, A smart Spirometry device for Asthma Diagnosis. 2015 37<sup>th</sup> Annual International Conference of the IEEE Engineering and Biology Society (EMBC).
- [24] Viswanath V., Garrison J., Jafek, Stretak. 2018. SpireConfidence: Determining the Validity of Smartphone Based Spirometry Using Machine Learning. 40<sup>th</sup> Annual International Conference of the IEEE Engineering in Medicine and Biology Society (EMBC).
- [25] Golte H., Chen W. 2007 Real-time Detection of Respiratory Activity using an Inertial measurement Unit. 29<sup>th</sup> Annual International Conference of the IEEE Engineering in Medicine and Biology Society, 2007.
- [26] Ibrahim S. N., Jusoh A. Z., N. Abd Malik, N.A., Mazalan, 2017 "Development Portable Digital Spirometer Using M.3860" IEEE 4<sup>th</sup> International Conference on Smart Instrumentation, Measurement and Application (ICSIMA), 2017.
- [27] Andriyati, Nugraha P.C., Latifah S. 2019. Arduino ATMega328 Portable Spirometer using Gas Pressure Sensor For FVC and FEV1 Measurement. JEEMI.
- [28] Cosman S., Ozbek I.Y. 2013. Age Group Classification and Gender Detection based on Forced Expiratory Spirometry. 35<sup>th</sup> Annual International Conference of The IEEE Engineering in Medicine and Biology Society (EMBC).

## Eko Kurniawan - 55

### ORIGINALITY REPORT

24 %

### SIMILARITY INDEX

2

### PRIMARY SOURCES

- 1 drofidwiantoro Internet Source
- 2 Submitted to Student Paper
- 3 jurnal.uinsu.a Internet Source
- 4 Submitted to Student Paper
- 5 www.scribd.c Internet Source
- 6 erj.ersjournals Internet Source
- 7 www.repository Internet Source
- 8 www.gaus.ca Internet Source
- 9 technav.ieee. Internet Source

10	<a href="http://www.splf.org">www.splf.org</a> Internet Source	1 %	classification learning tech Conference c 2018 Publication
11	Submitted to University Of Tasmania Student Paper	1 %	
12	Gloria Ejehiohen Iyawa, Asiya Khan, Sesanam Dagadu, Kristine Mae Magtubo, Rupert Calvin Sievert. "chapter 8 Identifying the Components of a Smart Health Ecosystem for Asthma Patients", IGI Global, 2019 Publication	1 %	
13	Mutia Fadhila Putri, Nabila Clyde Harahap, Shelly Pramudiawardani, Dana Indra Sensuse, Mochammad Aricf Hcrmawan Sutoyo. "Usage Intention Model for Mobile Health Application: Uses and Gratification Perspective", 2019 International Conference on Electrical Engineering and Informatics (ICEEI), 2019 Publication	1 %	
14	<a href="http://ejurnal.itenas.ac.id">ejurnal.itenas.ac.id</a> Internet Source	1 %	
15	"ICCCE 2019", Springer Science and Business Media LLC, 2020 Publication	1 %	
16	P Varalakshmi, Gowtham Yuvaraj, Karthiga Dhanasekaran, Kalaiyarasi Samannan. "Diminishing fall-out and miss-rate in the	1 %	
17	<a href="http://www.atsjournal.com">www.atsjournal.com</a> Internet Source		
18	<a href="http://eprints.iisc.ernet.in">eprints.iisc.ernet.in</a> Internet Source		
19	<a href="http://bristol.ac.uk">bristol.ac.uk</a> Internet Source		
20	Faragó, Gálá "An Intra-Oral Identification Sensors, 2018 Publication		
21	Submitted to Student Paper		
22	Submitted to Student Paper		
23	Submitted to Malaysia Student Paper		
24	Submitted to Student Paper		

25	<a href="http://irep.iiium.edu.my">irep.iiium.edu.my</a>	<1 %	Wei-Ming Wan the impact of t transmission c of Fish Disease Publication
26	<a href="http://eprints.gla.ac.uk">eprints.gla.ac.uk</a>	<1 %	
27	<a href="http://docplayer.info">docplayer.info</a>	<1 %	
28	Submitted to Universitas Negeri Jakarta	<1 %	
29	<a href="http://ieeexplore.ieee.org">ieeexplore.ieee.org</a>	<1 %	
30	Lia andriani, Priyambada Cahya Nugraha, Sari Lutfiah. "Portable Spirometer for Measuring Lung Function Health (FVC and FEV1)", Journal of Electronics, Electromedical Engineering, and Medical Informatics, 2019 Publication	<1 %	
31	<a href="http://ubicomplab.cs.washington.edu">ubicomplab.cs.washington.edu</a>	<1 %	
32	Roneel V Sharan, Udantha R Abeyratne, Vinayak R Swarnkar, Scott Claxton, Craig Hukins, Paul Porter. "Predicting spirometry readings using cough sound features and regression", Physiological Measurement, 2018 Publication	<1 %	
33	Tien-Hsuan Lu, Ying-Fei Yang, Chi-Tun Chien, <a href="http://lib.mercubuana.ac.id/">lib.mercubuana.ac.id/</a>	<1 %	
34	<a href="http://openaccess.csiro.au">openaccess.csiro.au</a>	<1 %	
35	Submitted to C	<1 %	
36	Submitted to U	<1 %	
37	Submitted to U State University	<1 %	
38	<a href="http://pure.hud.ac.uk">pure.hud.ac.uk</a>	<1 %	
39	<a href="http://onlinelibrary.wiley.com">onlinelibrary.wiley.com</a>	<1 %	
40	<a href="http://link.springer.com">link.springer.com</a>	<1 %	
41	<a href="http://journal.unair.ac.id">journal.unair.ac.id</a>	<1 %	
42	<a href="http://www.jellygame.com">www.jellygame.com</a>	<1 %	

33 Tien-Hsuan Lu, Ying-Fei Yang, Chi-Yun Chen,

43

Submitted to Universitas Bina Darma

Student Paper

<1 %

Exclude quotes Off  
Exclude bibliography Off

Exclude matches Off



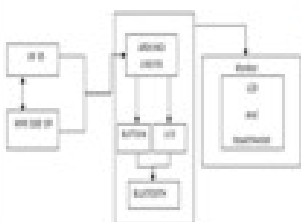
Pengembangan Metode Spirometri Menggunakan Metode ECSC EQUATION pada sistem Monitoring suhu tubuh dan paru paru

Dr. Setyo Budiyanto, ST, MT, Eko Kurniawan

Fakultas Magister Teknik Elektro, Universitas Mercubuana Indonesia, Jakarta, Indonesia

Abstract

ABSTRACT



Restrictive pulmonary disease in the lungs is one of the leading causes of death in the world and hypothermia body temperature and fever are the cause of the occurrence of restrictive lung disease such as pneumonia and tuberculosis. Body temperature tests and spiroometers are one way to diagnose a restrictive lung disease. This research aims to design and develop software and hardware for measuring body temperature and vital lung capacity using a sensor LM 35 DZ, sensor pressure MPX5100 DP, Arduino Uno R3, Arduino IDE and MIT APP Inventor and determine the characteristics, body temperature and FVC value results along with its indications from the forced vital capacity measurement tool. The test is done by comparing the temperature measuring instrument and measuring device for vital lung capacity with a digital thermometer and spirorometer CONTEC SP10BT. The results have successfully designed the development of the spirometry method using the ECSC equation in the body and lung temperature monitoring system using the sensor LM 35 DZ, Sensor pressure MPX5100DP, Arduino Uno R3, Arduino IDE and MIT APP Inventor with 98.91% accuracy and average accuracy of  $\pm 0.0048$ , average error 1.07% and can display healthy and unhealthy indications.

Keywords : Body Temperature, Forced Vital Capacity, Arduino Uno R3, Arduino IDE, ECSC Equation

ABSTRAK

Penyakit paru restrikif pada paru paru merupakan salah satu penyakit pengelab kerusakan terbesar di dunia dan suhu tubuh hipotermia dan demam menjadi penyebab terjadinya penyakit paru restrikif seperti penyakit pneumonia dan tuberculosis. Tes suhu tubuh dan spirometer adalah salah satu cara mendiagnosa penyakit restrikif paru. Penelitian ini bertujuan untuk merancang dan membangun software dan hardware alat pengukur suhu tubuh dan alat kapasitas vital paru paru menggunakan sensor LM 35 DZ, sensor tekanan MPX5100 DP, Arduino Uno R3, IDE arduino dan MIT APP inventor dan menentukan karakteristik, suhu tubuh dan hasil nilai FVC beserta indikasinya dari alat ukur kapasitas vital paru paru. Projek dilakukan dengan membandingkan alat ukur suhu dan alat ukur kapasitas vital paru paru dengan thermometer digital dan spirometer CONTEC SP10BT. Hasilnya telah berhasil merancang pengembangan metode spirometri menggunakan ECSC equation pada sistem monitoring suhu tubuh dan paru paru menggunakan Sensor LM 35 DZ, sensor tekanan MPX5100DP, Arduino Uno R3, IDE arduino dan MIT APP inventor dengan ketelitian 98.91%

Spirometri sebagai alat utama untuk melakukan tes spirometri diperlukan untuk membuat diagnosis akisis Penyakit Paru Obstruktif Kronik (PPOK), penyakit aliran udara terbatas. Spirometer akan menghasilkan Kapasitas Vital Paksa . Tes spirometri umumnya dilakukan di klinik keselatan atau kantor medis tetapi sekarang spirometri rumah dengan perangkat portabel perlakuan-lahan masih diterima. Tetapi spirometer rumah masih belum portabel tidak memerlukan pemasangan, simpel hali, atau mekanisme kontrol kualitas dari dokter untuk memastikan pengukuran yang dapat diterima. Penelitian ini menciptakan olahraga android, desktop jauh, dan sistem informasi berbasis situs web yang dikoneksikan dengan spirometer portabel yang terbuat dari sensor MPX5100DP untuk menghitung tekanan selama FVC, dan Arduino nano untuk melacak dan mempertahankan uji spirometri. [7]

## 2.2 Spirometri

**1** Spirometri secara harfiah berarti "pengukuran ruang sesorang." Tujuan dari tes yang merupakan salah satu tindakan yang paling sering diajukan untuk pasien dengan masalah paru-paru ini, adalah untuk mengakurasi fungsi paru-paru, yaitu dalam hal volume dan aliran udara yang dapat diberikan atau dibutuh oleh sesorang. Data yang diperlukan dari tindakan ini disebut paoerotachographs, yang dapat digunakan untuk menilai dan menila kondisi tertentu seperti fibrosis kistik, asma, bronkitis, emfisema, dan penyakit paru obstruktif kronik (PPOK).

Tidak ada pengukuran ini dilakukan dengan menggunakan spirometer, yang mengakur volume udara yang diberikan dan dibutuh oleh paru-paru, serta peredaran udara pada paru-paru. Keharusan jenis spirometer dapat mengidentifikasi dua jenis pola peredaran udara yang mungkin mengindikasikan keadaan pada paru-paru: restrikif dan obstruktif[8]. Spirometri merupakan metode pengukuran yang penting yang digunakan untuk membuat paerotachographs yang berguna dalam menilai beberapa kondisi seperti asma, fibrosis paru, cystic fibrosis, dan COPD.[9]

## 2.3 Metode Predksi Spirometri Pernafasan ECSC

Metode spirometri ECSC adalah metode pengukuran kesehatan paru-paru yang dikeluarkan oleh European Community for Steel and Community (ECSC) dan European

respiratory Society (ERS) yang diterbitkan pada tahun 1983 dan diperbaharui pada tahun 1993. Sebuah studi ECSC dibuat oleh pengaruh bua bau dan bua, dan dengan demikian tidak memiliki studi yang memadai pada wanita. Karena tidak ada data yang sesuai untuk wanita, dan tidak ada data yang tersedia untuk studi bua, pihak yang bekerja menggunakan prediksi prediksi yang berasal dari non-pasien sehat untuk menghasilkan database bua, dan korelasian menggunakan ini akan menambah persamaan bua.[10]

## 2.4 Venturiometer

Venturi-Meter Struktur venturi-meter yang diperpanjang di tenggorokan dibuat sejajar pada Gambar. 1, di mana tenggorokan dari Venturi-meter konvensional diperluas untuk memberikan tekanan diferensial lain di atas bagian pipa lurus. Diharapkan bahwa dua sinyal tekanan diferensial yang dipisahkan dari bagian konvergen dan bagian lurus, rasing-rasing, dapat digunakan untuk memperkirakan aliran gas dan cairan dalam gas basah. Selain itu, tekanan dan suhu statis adalah dua parameter lain yang memengaruhi pengukuran dan nilai laju alir. [11]



Gambar 1 Venturi meter

## 2.5 Sistem Pernafasan

permatangan kondisi kesehatan oleh pasien dan lamaga kesehatan, untuk mencegah penyakit. Penelitian untuk permatangan kesehatan relatif dilakukan. Sebagian besar dari mereka hanya fokus pada pembacaan dan visualisasi data sensor semestinya ospak manajemen data termasuk penyimpanan data, pengolahan dan sinkronisasi antara sistem, pasien dan lemaga kesehatan belum dikembangkan. Penelitian ini mengusulkan desain sistem permatangan kesehatan bernama Meeble (Monitoring for Better Life Experience), sistem untuk memantau kondisi kesehatan pasien dan untuk mencegah penyakit sedini mungkin. Meeble terdiri dari tiga subsystem: aplikasi web, basis data dan desain API, dan aplikasi seluler pada platform android. [12]

## 2.6 Sensor Suhu

## 2.0 Literatur Terkait

Dalam diagnosis medis, penting untuk memperiksa laju pernapasan dan denyut nadi yang akurat untuk diagnosis penyakit paru-paru. Perbedaan laju pernapasan abnormal (seperti banyak nafas, ritme, dan kresak) dan laju pernapasan normal membantu dalam diagnosis patologi, fisiologi paru-paru dan penyumbatan saluran udara. Jadi, pemantauan tingkat pernapasan yang berkelanjutan dengan sistem low-cost portabel akan selalu dibutuhkan. Dalam makalah ini, sistem yang disusulkan adalah pemantauan tiga sinyal fisiologis (laju pernapasan, suhu tubuh dan denyut nadi) yang sebagian besar digunakan dalam diagnosis penyakit paru-paru. Sensus sinyal ini ditransmisikan secara nirkabel dalam karya yang disusulkan untuk pemantauan kritis penyakit paru-obstruktif kronik (PPOK). Pneumonia, infeksi saluran pernapasan atas (URTI) dan asma. [13]

Saat ini, masalah infeksi paru-paru selama inspektori untuk diagnosis sistem pernapasan sudah akur. Makelah ini menjelaskan pekerjaan yang dilakukan dalam kerangka pengembangan spirometer. Ini akan menilai kemampuan untuk diagnosis mengoreksa yakni khasus batu pada napas, yang akan mengindikasi adanya infeksi ketika peningkatan digunakan, misalnya dalam apotik anti-tuberkulosa. Teknik buaya pada eributan ruap dikembangkan oleh guru ilmuwan dari Institut Riset Ilmiah Negara Fisiologi dan Kedokteran Fundamental Cabang Siberia dari Akademi Ilmu Kedokteran Rusia (Norosibirsk) bersama dengan ahli pulmonologi Rusia. Sebagai hasil dari penelitian, sampel eksperimental instrumen dibuat, perangkat buaya untuk pengujian awal model dikembangkan. Perangkat telah diuji. Kinerja normal dari sampel yang dikembangkan dikonfirmasi. [14]

**4.2** Paru-paru adalah salah satu organ pernapasan yang vital. Jika paru-paru tidak sehat, itu bisa menyebabkan aliran udara ke paru berkurang. Untuk menganalisis kondisi paru-paru digunakan sinyal respiro yang dilakukan menggunakan sensor piezoelektrik yang dilakukan di data. Output sensor piezoelektrik adalah 50 mV, sehingga dibutuhkan rangkaian penguat, filter low pass dan filter nafas, klon dan mikrokontroler untuk memproses data selama respiro. Data mikrokontroler dikemas ke dalam program Matlab untuk diolah menjadi sinyal respiro. Karena

sinyal respiro bervariabel dengan kebingungan yang disebabkan oleh kontaksi otot, aktif respiro, keringat, dan kebingungan instrumentasi, maka sinyal tersebut tidak jelas. Tujuan dari penelitian ini adalah untuk memproses sinyal dengan menggunakan filtar FIR sehingga kebingungan sinyal yang tidak diringankan dapat dikurangi, sinyal menjadi lebih jelas dan kemudian sinyal dapat digunakan untuk menganalisa kondisi paru-paru dengan menggunakan pertandingan antara hasil pengukuran vital yang dianalisa kapasitas paru-paru dengan nilai prediksi kapasitas vital paru-paru yang dihitung berdasarkan jenis kelamin, usia dan tinggi orang. Jika nilai kapasitas vital yang diukur sama dengan atau lebih dari 80% dari nilai prediksi kapasitas vital paru, maka kondisi paru-paru dianggap sehat. Hasil penelitian ini menunjukkan bahwa 2 dari 10 orang (17 - 54 tahun) memiliki kondisi paru-paru yang tidak sehat. [15]

Persamaan prediksi Nasional Barisan dan Raja Eropa (ECSC) memanfaatkan upaya signifikan yang dilakukan sekitar 15 tahun yang lalu untuk memberikan standar yang seragam untuk pengujian fungsi paru-paru, tetapi angka persentase ini belum divalidasi dengan benar. Penelitian ini menggunakan nilai referensi ECSC dan empat set persamaan prediksi lainnya, menggunakan data spirometrik yang dikumpulkan pada 12.900 subjek nonstrikular (43% perokok seumar hilip dan 56% perokok aktif seumar 20-44 tahun dari European Community Respiratory Health Survey (ECRHS). [16]

## 3.0 Metodologi Penelitian

### 3.1 Komponen Pengukuran Hardware

**3.1.1** Prototipe terdiri dari dua sensor yakni sensor suhu dan sensor GSR, papan Arduino yang memiliki mikrokontroler Arduino Uno R3, LCD sebagai indikator, dan smartphone Android. Cara kerja sistem adalah dengan cara data diperoleh dari sensor Dilihubungkan ke mikrokontroler.

Mikrokontroler selanjutnya memproses data Metode prediksi Spirometri Persamaan ECSC yang sudah diprogram dalam mikrokontroler untuk mendukung Kesehatan dan Ketidaknyamanan yang akurat.

Tabel 1 Tabel mengukur suhu tubuh

Responden	Suhu Tubuh thermometer otakron MC-343F (°C)	Suhu tubuh model LM 35 DZ (°C)
1	36.19	36.19
2	34.89	34.89
3	36.49	36.52
4	36.29	36.29
5	36.39	36.38
6	36.59	36.64
7	36.89	36.89

Pengambilan data kapasitas paru vital (PVC) responden

Dalam mengujii nilai PVC responden, pengambilan data dilakukan dengan menghembuskan napas dari beberapa responden yang berbeda dengan pengulangan sebanyak 3 kali untuk satu responden untuk mendapatkan nilai PVC rata-rata responden. Proses ini dilakukan secara bergantian dari spirometer contec SP10BT dengan perangkat pengukuran kapasitas vital paru (PVC). Pada saat pengujian, responden diminta untuk bernapas secara normal beberapa kali menggunakan hidung, termasuk napas sebanyak rangkap dan buang napas sebanyak rangkap dengan jeda. Pengukuran dimulai ketika responden akan menghembuskan napas keras, cepat dan maksimal dengan pakaian yang ditandai dengan memberikan isyarat oleh pemeriksa. Pengulangan tes dilakukan dalam 2 menit atau lebih dari sebelumnya. Dari hasil pengujian diperoleh data dari sebanyak responden dengan total 54 data, 27 data dari alat pengukur kapasitas vital paru dan 27 data dari spirometer contec SP10BT, berikut hasil pengujian nilai PVC.

Tabel 2 Tabel pengakuran PVC

Responden	Uji	Pengujian		Seksib PVC	% Error		
		Cone SP	Alat ukur				
		10 BT	KVP				
1	1	2.37	2.37	0	0		
	2	2.36	2.39	0.01	0.36		
	3	2.37	2.37	0	0		
	1	2.38	2.37	0.01	0.42		
	2	2.38	2.37	0.01	0.42		
	3	2.39	2.37	0.02	0.83		
	1	4.36	4.39	0.06	1.37		
	2	4.37	4.31	0.06	1.37		
	3	4.34	4.33	0.01	0.230		
4	1	4.86	4.83	0.03	0.62		
	2	4.84	4.81	0.03	0.62		
	3	4.87	4.81	0.06	1.23		
	1	6.04	5.93	0.11	1.82		
	2	6.18	6.13	0.05	0.81		
	3	6.20	6.17	0.03	0.48		
	1	5.88	5.89	0.06	1.65		
	2	6.00	5.94	0.06	1		
	3	6.05	6.00	0.05	0.82		
7	1	3.37	3.34	0.3	0.89		
	2	3.44	3.31	0.11	3.78		
	3	3.44	3.31	0.11	3.78		
	$\Sigma \% \text{ Error}$			12.49			

A

Berdasarkan tabel diketahui bahwa kesalahan terkecil adalah 0 liter dan kesalahan terbesar adalah 0,11 atau 3,78% dan kesalahan rata-rata alat ukur adalah:

Persentase kesalahan rata-rata

$$\frac{\Sigma \% \text{ error}}{n} = \frac{12.49}{31} = 1.07\%$$

Tabel 3 Tabel perhitungan akurasi instrumen pengukuran PVC

nilai PVC kurang dari 80 % maka paru sesungguhnya dikatakan tidak sehat.

#### 5.0 Kesimpulan

Sistem yang dibuatkan dalam penelitian ini mampu memantau suatu tubuh kesabahan dan PVC Paru secara efisien dengan memerlukan hanya dua sinyal fisiologis. Sistem ini dapat menjadi alat yang berguna untuk profesional medis untuk melacak suatu tubuh dan PVC pada pra dan pasca kawana sistem ini memiliki kemampuan untuk mendekripsi pertumbuhan kesabahan sedikit pun. Selanjutnya, di masa depan, Mengoptimalkan sehingga lebih banyak parameter untuk penyakit paru-paru respiratori (pneumonia dan tbcberakar) dapat dikenali. Mengembangkan metode lain dalam pengukuran PVC paru-paru seperti Kadison dan NHANES sehingga mereka dapat dibandingkan dengan nilai-nilai persyaratan ECSC yang penolitikan. Untuk penelitian lebih lanjut, sistem ini dapat dikembangkan dengan sistem wireless sensor network lain seperti raspberry dan Ziegbee.

#### Dafat Pustaka

- [1] K.Suzanne., W. Mankowitz. 2018. *Tools in Obstetric Anesthesiology*. Springer International Publishing AG, part of Springer Nature, 50?
- [2] Afif W. N. I. W. [et.], Wasin I. P., Sayakaraj. 2017. The Development of an Online Pneumonia Risk Prediction System. International Conference on Robotics, Automation and Sciences (ICCRAS), Melaka, Malaysia.
- [3] Sharma R., Kochhar R. 2017. Fuzzy Decision Support System for Tuberculosis Detection. International Conference on Communication and Signal Processing, India, 2001-2005.
- [4] Morris P. C., Feng G., Herler G.D. 2016. Enabling the Multiple use of Condition Monitoring Devices for real time Monitoring, Real-time Data Logging and Remote Condition. IET Conference on Railway Condition Monitoring (RCM).1-5.
- [5] Soleimani V., Memetkili M., Duran D., Dodd J., Hanrahan S., Sharp C., Compton M., Viner J. 2017. Remote, Depth-Based Lung Function Assessment.1-15.
- [6] Nadeau M., Micheau P., Robert R., Arising O., Tissier R., Germain P.S., Vandervenne J., Prad J. P., Wahl H. 2014. Core Body Temperature Control by Total Liquid Ventilation using a
- [7] Visual Lung Temperature Sensor. 2014. IEEE Transactions On Biomedical Engineering, 2859-2868.
- [8] Al Razid M. U. H., Karunasari, Sulastyo M., Sukandhipta S. 2018. Design and Development of Portable Spirometer.
- [9] Apa itu Spirometri : Garis-garis Umum, Keuntungan, dan hasil yang dihasilkan Available from <https://www.docloc.com/id/info/conten/ce/spirometri/>
- [10] Parwanta M.S., Hemaswara Y., Nahrawi L. 2019. Rancangan Bangun Alat Pendekripsi Kebugaran Paru-Paru pada Personil (TNI) (Spirometer) Berbasis Andriod Use. Jurnal Teknik Elektro dan Komputer (JTEK) Vol.1, No. 1.
- [11] Quanjer PHH, Tammeling GI, Coates A, Pedersen OF, Peslin R, Yernault JC. Lung volumes and forced ventilatory flows. Report Working Party "Standardization of Lung Function Tests", European Respiratory Society. Eur Respir J 1993; 6 (Suppl. 16): 5-40.
- [12] Xu Lijun, Tang S., Wet Gas Using a Venturi-meter and Support Vector Machine. IEEE, 2009.
- [13] Yusuf A. N. A., Zulkifli E.Y., Masliza J.W. 2018. Development of Monitoring and Health Service Information System to Support Smart Health on Android. International Conference on Nano Electronics, Research and Education (CNERE), Hamamatsu, Japan.
- [14] Thakur A., Aggarwal P., Siddiqui U. 2018. Analysis of Pulmonary Diseases using Wireless Breathing Rate and Pulse Rate Monitoring System. Proceedings of the 2<sup>nd</sup> International Conference on Inventing, Communication and Computational Technologies (ICICCT) 2018.
- [15] Karunia A. S., Makukha V. K. 2015. Hardware Development for a Multifunctional Wireless Spirometer Module. IEEE Conference of Russian Young Researchers in Electrical and Electronic Engineering (Elektrobit).
- [16] Karunia, Wardana P.S. 2017. Processing of Respiratory Signal Using FIR Filter for Analyze the Condition Lung. International Electronics Symposium on Engineering Technology and Applications (IESEA).
- [17] Boca J., Burgos P., Sanjur J. et al. Reference Values for Forced Spirometry. Group of the European Community Respiratory Health Survey. Eur Respir J. 1998; 11: 134-62

- [6] Nadeau M., Michaud P., Robert R., Averre O., Tissier R., Germain P.S., Vandennee J., Pradé J. P., Walti H. 2014. Core Body Temperature Control by Total Liquid Ventilation using a
- [16] Roca J., Bargot F., Santer J. et al. References Values for Forced Spirometry. Group of the European Community Respiratory Health Survey. *Eur. Respir. J.* 1998; 11: 1354-62

Eko Kurniawan - 5541512005

ORIGINALITY REPORT



PRIMARY SOURCES

1	<a href="http://drofidwiantoro.blogspot.com">drofidwiantoro.blogspot.com</a> Internet Source	3%
2	<a href="#">Submitted to Sriwijaya University</a> Student Paper	1%
3	<a href="http://jurnal.uinsu.ac.id">jurnal.uinsu.ac.id</a> Internet Source	1%
4	<a href="#">Submitted to Universitas Brawijaya</a> Student Paper	1%
5	<a href="http://www.scribd.com">www.scribd.com</a> Internet Source	1%
6	<a href="http://erj.ersjournals.com">erj.ersjournals.com</a> Internet Source	1%
7	<a href="http://www.repository.uinjkt.ac.id">www.repository.uinjkt.ac.id</a> Internet Source	1%
8	<a href="http://www.gaus.ca">www.gaus.ca</a> Internet Source	1%
9	<a href="http://technav.ieee.org">technav.ieee.org</a> Internet Source	1%

IA

classification of lung diseases using deep learning techniques", 2018 Tenth International Conference on Advanced Computing (ICoAC), 2018

Publication

17	<a href="http://www.atsjournals.org">www.atsjournals.org</a>	<1 %
18	<a href="http://eprints.iisc.ernet.in">eprints.iisc.ernet.in</a>	<1 %

19	<a href="http://bristol.ac.uk">bristol.ac.uk</a>	<1 %
20	Faragó, Gálátuş, Hintea, Boşca, Feurdean, Illea. "An Intra-Oral Optical Sensor for the Real-Time Identification and Assessment of Wine Intake", Sensors, 2019	<1 %

Publication

21	Submitted to University of Kentucky	<1 %
22	Submitted to University of Westminster	<1 %

Student Paper

23	Submitted to University Tun Hussein Onn Malaysia	<1 %
24	Submitted to University of Queensland	<1 %

Student Paper

JA

---

24	Submitted to University of Queensland Student Paper	<1 %
----	--------------------------------------------------------	------

---

- Wei-Ming Wang, Chung-Min Liao. " Quantifying the impact of temperature variation on birnavirus transmission dynamics in hard clams ", Journal of Fish Diseases, 2019

Publication

---

34	openaccess.city.ac.uk Internet Source	<1 %
----	------------------------------------------	------

---

---

35	Submitted to CTI Education Group Student Paper	<1 %
----	---------------------------------------------------	------

---

---

36	Submitted to Universidad Técnica de Machala Student Paper	<1 %
----	--------------------------------------------------------------	------

---

---

37	Submitted to Universitas Negeri Surabaya The State University of Surabaya Student Paper	<1 %
----	--------------------------------------------------------------------------------------------	------

---

---

38	pure.hud.ac.uk Internet Source	<1 %
----	-----------------------------------	------

---

---

39	onlinelibrary.wiley.com Internet Source	<1 %
----	--------------------------------------------	------

---

---

40	link.springer.com Internet Source	<1 %
----	--------------------------------------	------

---

---

41	journal.unair.ac.id Internet Source	<1 %
----	----------------------------------------	------

---

---

42	www.jellygamatluxor.com Internet Source	<1 %
----	--------------------------------------------	------

---

41

journal.unair.ac.id  
Internet Source

<1 %

42

www.jellygamatluxor.com  
Internet Source

<1 %

umpiran Gambar pengembangan metode spirometri menggunakan ECSC Equatic pada sistem monitoring suhu tubuh dan paru-paru



T=37.32C U=3.34L  
SEHAT

